

## Effects of magnetic hydroethanolic extract of *Nigella sativa* and magnesium oxide nanoparticles (MgO) on catalase gene expression in liver of diabetic male rats

Mahboubeh Amini<sup>1</sup>, Maryam Ostadsharif<sup>2,3</sup>, Nooshin Naghsh<sup>4</sup>

<sup>1</sup> MSc Student, Department of Cellular and Molecular Biology, Falavarjan Branch, Islamic Azad University, Isfahan, Iran

<sup>2</sup> Assistant Professor, Department of Medical Basic Sciences, Isfahan (Khorasgan) Branch, Islamic Azad University, Isfahan, Iran

<sup>3</sup> Department of Medical Biotechnology, Isfahan (Khorasgan) Branch, Islamic Azad University, Isfahan, Iran

<sup>4</sup> Associate Professor, Department of Biologoy, Falavarjan Branch, Islamic Azad University, Isfahan, Iran.

### Abstract

**Background:** Diabetes is a metabolic disorder with chemical, physiological and pathological changes in the liver. Due to the side effects of insulin, the use of herbal medicines such as *Nigella sativa* with flavonoid compounds and antioxidant properties is considered. In this study, the effect of magnetic hydroethanolic extract of *Nigella sativa* and MgO nanoparticles separately and simultaneously on the expression of *CAT* gene in liver tissue of male diabetic rats was investigated.

**Materials and methods:** 40 male Wistar rats, after induction of diabetes by injection of streptozotomycin (STZ) at a dose of 60 mg / kg, were treated by magnetic hydroethanolic extract of *Nigella sativa* at a dose of 250 mg / kg, MgO nanoparticles at a dose of 10 mg / kg, combined magnetic hydroethanolic extract 125 mg / kg and 5 mg / kg MgO nanoparticles, and the extract loaded with MgO nanoparticles every other day for 28 days and the expression of liver *CAT* gene was evaluated.

**Results:** The extract loaded with MgO nanoparticles was able to increase *CAT* gene expression in diabetics to the extent of gene expression in metformin-treated diabetics.

**Conclusion:** It seems that thymoquinone (TQ) in *Nigella sativa* due to its antioxidant properties increases the expression of *CAT* gene and overcomes the oxidative stress caused by diabetes with its protective effect on pancreatic beta cells. Loading the nanoparticles probably resulted in better absorption of the antioxidant compounds in the cell, and the MgO nanoparticles as nanocontractors facilitated the cell's access to the particulate compounds.

**Keywords:** Diabetes, *Nigella sativa* magnetic hydroethanolic extract, *CAT* gene, MgO nanoparticles.

**Cited as:** Amini M, Ostadsharif M, Naghsh N. Effects of Magnetic Hydroethanolic Extract of *Nigella sativa* and Magnesium Oxide Nanoparticles (MgO) on Catalase Gene Expression in Liver of Diabetic Male Rats. Medical Science Journal of Islamic Azad University, Tehran Medical Branch 2022; 32(2): 123-131.

**Correspondence to:** Maryam Ostadsharif

**Tel:** +98 913 303 1459

**E-mail:** maryam.ostadsharif@gmail.com

**ORCID ID:** 0000-0003-0824-2904

**Received:** 3 Nov 2021; **Accepted:** 31 Dec 2021

مجله علوم پزشکی دانشگاه آزاد اسلامی  
دوره ۳۲، شماره ۲، تابستان ۱۴۰۱، صفحات ۱۲۳ تا ۱۳۱

## بررسی تاثیرات عصاره هیدرواتانولی مغناطیسی سیاهدانه (*Nigella sativa*) و نانوذرات اکسید منیزیم (MgO) بر بیان ژن کاتالاز (CAT) در کبد رت‌های نر دیابتی

محبوبه امینی<sup>۱</sup>، مریم استادشیریف<sup>۲</sup>، نوشین نقش<sup>۳</sup>

<sup>۱</sup> دانشجوی کارشناسی ارشد، گروه زیست شناسی سلولی و مولکولی، دانشگاه آزاد اسلامی، واحد فلاورجان، اصفهان، ایران

<sup>۲</sup> استادیار گروه علوم پایه پزشکی، دانشگاه آزاد اسلامی، واحد اصفهان (خوارسگان)، اصفهان، ایران

<sup>۳</sup> گروه زیست فناوری پزشکی، دانشگاه آزاد اسلامی، واحد اصفهان (خوارسگان)، اصفهان، ایران

<sup>۴</sup> دانشیار گروه زیست شناسی، دانشگاه آزاد اسلامی، واحد فلاورجان، اصفهان، ایران

### چکیده

**سابقه و هدف:** دیابت اختلال متابولیکی با تغییرات شیمیایی، فیزیولوژیکی و پاتولوژیکی کبد است. به دلیل عوارض جانبی انسولین، مصرف داروهای گیاهی همچون سیاهدانه با ترکیبات فلاونوئیدی و خواص آنتی اکسیدانی، مورد توجه است. در این تحقیق تاثیر عصاره هیدرواتانولی مغناطیسی سیاهدانه و نانوذره MgO به صورت جداگانه و توأم بر میزان بیان ژن CAT در بافت کبد رت‌های نر دیابتی بررسی شد.

**روش بررسی:** ۴۰ راس رت نر نژاد ویستار پس از القای دیابت با تزریق استرپتوزوتومایسین (STZ) با دوز mg/kg ۰۰، با عصاره هیدرواتانولی مغناطیسی سیاهدانه دوز mg/kg ۲۵۰، نانوذره MgO دوز mg/kg ۱۰، عصاره توام هیدرواتانولی مغناطیسی سیاهدانه دوز mg/kg ۱۲۵ و نانوذره MgO دوز mg/kg ۵، عصاره بارگذاری شده با نانوذره MgO به مدت ۲۱ روز و به صورت یک روز در میان، تیمار شدند و میزان بیان ژن CAT کبد بررسی شد.

**یافته‌ها:** عصاره بارگذاری شده با نانوذره MgO تا حدودی توانست بیان ژن CAT را در افراد دیابتی به میزان بیان ژن در افراد دیابتی تحت تیمار با متفورمین افزایش دهد.

**نتیجه‌گیری:** به نظر می‌رسد تیموکینون (TQ) در سیاهدانه به دلیل خاصیت آنتی اکسیدانی سبب افزایش بیان ژن CAT شده و با تاثیر محافظتی که بر سلول‌های بتا پانکراس داشته بر استرس اکسیداتیو ناشی از دیابت غلبه می‌کند. بارگذاری کردن نانوذره احتمالاً جذب بهتر ترکیبات آنتی اکسیدانی سیاهدانه در سلول شده و نانوذره MgO به صورت نانووکتور توانسته دستررسی سلول به ترکیبات سیاهدانه را آسان‌تر کند.

**وازگان کلیدی:** دیابت، عصاره هیدرواتانولی مغناطیسی سیاهدانه، ژن CAT، نانوذره MgO

### مقدمه

وابسته به انسولین) و دیابت نوع ۲ (دیابت ملیتوس غیر وابسته به انسولین) وجود دارد (۱). استرس اکسیداتیو یا عدم تعادل بین تولید رادیکال‌های آزاد اکسیژن و ظرفیت دفاع آنتی اکسیدانی بدن، به شدت با دیابت و عوارض آن در ارتباط است. دیابت باعث تولید رادیکال‌های آزاد در بدن می‌شود. برای مقابله با این عارضه مهم دیابت، بدن نیاز به آنتی اکسیدان قوی دارد. عوامل آنتی اکسیدان به خصوص با منشا گیاهی در پیشگیری از عوارض دیابت بسیار حائز اهمیت هستند (۲).

دیابت قندی (DM) بیماری متابولیکی غدد درون ریز است. دو نوع اصلی از دیابت به نام‌های دیابت نوع ۱ (دیابت ملیتوس

آدرس نویسنده مسئول: اصفهان، دانشگاه آزاد اسلامی واحد اصفهان (خوارسگان)، گروه علوم پایه پزشکی، مریم استادشیریف (email: maryam.ostadsharif@gmail.com)

0000-0003-0824-2904. ORCID ID

تاریخ دریافت مقاله: ۱۴۰۰/۸/۱۲

تاریخ پذیرش مقاله: ۱۴۰۰/۱۰/۹

سانتی گراد، شرایط دسترسی آزاد به آب و غذا، ۱۲ ساعت روشنایی و ۱۲ ساعت تاریکی) به مدت ۱۵ روز نگهداری شدند. سپس به مدت ۲۱ روز به صورت یک روز در میان تیمار شدند و بعد از روز ۲۱ رت‌ها با استفاده از کاتمین و زایدازین بیهوده شده و سپس خون‌گیری شدند. اجساد آنها در حفرهای در شهرستان قهدریجان دفن گشت و روی اجساد جوهرنمک ریخته شد.

**گروه‌های مورد آزمایش:** نمونه‌ها به طور تصادفی به ۸ گروه ۵ تایی تقسیم شدند که عبارت بودند از: گروه اول (شاهد غیردیابتی) رت‌های دریافت آب و غذای معمولی به صورت روزانه، گروه دوم (شاهد غیردیابتی تحت تیمار): رت‌های دریافت آب مغناطیسی، گروه سوم (شاهد دیابتی تحت درمان): رت‌های دریافت کننده متغورمین به صورت یک روز در میان با دوز  $400 \text{ mg/kg}$ ، گروه چهارم (شاهد دیابتی): رت‌های دیابتی شده بدون دریافت دارو تا پایان آزمایش، گروه پنجم: رت‌های دیابتی دریافت کننده عصاره هیدروراتانولی مغناطیسی سیاهدانه با دوز  $250 \text{ mg/kg}$ ، گروه ششم: رت‌های دیابتی دریافت کننده نانوذره  $\text{MgO}$  با دوز  $\text{kg}$   $mg/\text{kg}$ ، ۱۰ گروه هفتم: رت‌های دیابتی دریافت کننده عصاره هیدروراتانولی مغناطیسی سیاهدانه با دوز  $125 \text{ mg/kg}$  و نانوذره  $\text{MgO}$  با دوز  $mg/kg$  ۵، گروه هشتم: رت‌های دیابتی دریافت کننده عصاره هیدروراتانولی سیاهدانه با دوز  $mg/kg$   $400$ ، گروه نانوذره  $\text{MgO}$  با دوز  $mg/kg$   $4/8$ .

در تیمار رت‌ها، تزریق عصاره هیدروراتانولی مغناطیسی سیاهدانه و عصاره بارگذاری شده به صورت گاواز و نانوذره به صورت داخل صفاقی انجام شد. رت‌های گروه‌های ۳ تا ۸ در ابتدای آزمایش توسط تزریق داخل صفاقی استرپتوزوسین با دوز  $mg/kg$   $60$  وزن بدن و حل شده در آب مقطر دیابتی شدند (۱۰، ۹). پس از گذشت ۴ روز با اندازه گیری میزان قند خون، رت‌های دیابتی شده بر اساس قند بالاتر از  $180 \text{ mg/dl}$  جداسازی شدند.

**روش تهیه و آماده سازی عصاره‌های سیاهدانه جهت گاواز:** در این مطالعه بذر سیاهدانه با شماره کد هرباریومی g.bstu.pa no 201852 (تهیه و در هر مرتبه برای تولید عصاره، g ۵۰ بذر سیاهدانه پودر شده و در  $80 \text{ cc}$  اتانول ۹۶٪ و آب ۲۰٪ مغناطیسی حل شد تا محلول  $80\%$  هیدروراتانولی تهیه شود. سپس برای گاواز میزان  $1/۳ \text{ g}$  عصاره هیدروراتانولی مغناطیسی خشک شده سیاهدانه توزین شده و در  $10 \text{ ml}$  آب مقطر تزریقی حل شد. در این مطالعه به منظور تهیه آب مغناطیسی از دستگاه مگنت بروکر استفاده شد.

**روش ساخت و آماده سازی نانوذره  $\text{MgO}$  جهت تزریق:** در این بررسی نانوذرات  $\text{MgO}$  توسط دو ماده  $\text{MgSO}_4$  و نمک

گیاه سیاهدانه با نام علمی *Nigella Sativa* از راسته گل‌های ساعت (Ranunculaceae) تیره آلالگان (Ranunculales) است. از مهم‌ترین ترکیبات این گیاه می‌توان از آلفا-هیدرین، فلاونوئیدها و TQ نام برد. TQ موجود در این گیاه از طریق مکانیسم‌های مختلف از جمله افزایش فعالیت آنزیم CAT، کینون روکتاز، سوپر اکسید دیسموتاز (SOD) و گلوتاپون ترانسفراز، مهار فعالیت NF-kB (کمپلکس پروتئینی مهار کننده فرایند رونویسی DNA) و مهار هر دو مسیر سیکلواکسیژناز و لیپوواکسیژناز، از کبد محافظت می‌کند (۳). CAT از لحاظ ساختاری یک پروتئین تترامر با وزن مولکولی حدودی ۲۴۴ کیلو دالتون است که نقش مهمی در حفاظت از سلول‌های بدن در برابر اثرات سمی  $\text{H}_2\text{O}_2$  دارد. مولکول NADPH در ساختار این آنزیم، آن را در برابر غیرفعال شدن توسط  $\text{H}_2\text{O}_2$  محافظت می‌کند. مهمترین محل تجمع این آنزیم در پراکسی زوم بافت‌هایی مانند کبد می‌باشد (۴، ۵). CAT نوعی آنتی اکسیدان آنزیمی است. عوامل متعددی از جمله دیابت، پوکی استخوان، ورزش و جنسیت بر فعالیت آنزیم CAT تاثیرگذارند. جنسیت عملکرد اینمی بدن را تحت تاثیر قرار می‌دهد، در همین راستا مطالعات نشان می‌دهد که هورمون استروژن مانع از فعالیت NADPH اکسیداز و تولید رادیکال‌های آزاد شده و از آسیب به سلول جلوگیری می‌نماید (۶، ۷). پایداری بالا، زیست سازگاری و سمتیت کم از خصوصیات مهم نانو ذرات  $\text{MgO}$  است. این ذرات اثر ضد دردی، ضد التهابی و آنتی باکتریایی دارند و استنشاق آنها در رت‌ها باعث کاهش استرس اکسیداتیو می‌شود (۸). از آنجا که کشف مواد دارویی با کارایی بالا و اثرات جانبی پایین در درمان دیابت یکی از اهداف عمدۀ تحقیقات است؛ لذا در این مطالعه به بررسی و ارزیابی تاثیر عصاره هیدروراتانولی مغناطیسی سیاهدانه و نانوذرات  $\text{MgO}$  بر فعالیت آنزیم CAT پرداخته شد.

## مواد و روشها

**حیوانات آزمایشگاهی:** برای انجام آزمایش، ۴۰ راس رت نر نژاد ویستار (گونه *Rattus norvegicus*) مورد استفاده قرار گرفت. رت‌ها با میانگین وزنی  $180$  تا  $220 \text{ g}$  از انسیتو پاستور تهران تهیه شدند و به لانه حیوانات واقع در دانشگاه آزاد اسلامی واحد فلاورجان منتقل شدند. کد اخلاقی این پژوهش با شماره IR.IAU.SHK.REC.1397.052 شرایط آزمایشگاهی (نور طبیعی، دمای اتاق  $21-25^\circ\text{C}$  درجه

و شیر تنظیم متصل به آن را طوری تنظیم کردیم که هر ۳ ثانیه یک بار یک قطره از عصاره هیدرواتانولی مغناطیسی سیاهدانه درون محلول نانوذره درون بالن ریخته شود سپس درون بالن یک مگنت انداخته و آن را روی مگنت گردان قرار دادیم. رسوب حاصل را توسط آب مقطر دوبار تقطیر ۵ بار شستشو داده شد. آزمایش مشخصه یابی FTIR جهت تایید صحت بارگذاری شدن عصاره استفاده شد.

از ۵۰ ml محلول حاوی عصاره بارگذاری شده، ۱۰ ml از آن را در پلیت خشک کرده و از ۱۰ ml محلول، مقدار ۰/۰۶ g ماده خشک به دست آمد. سپس ۱۰ ml دیگر از محلول حاوی عصاره بارگذاری شده برداشته و به حجم ۵۰ ml رسانده و به میزان ۱ ml از آن به هرت گواژ شد(غلاظت محلول رقیق شده در انتهای kg/mg ۴/۸ است).

**روش جداسازی بافت کبد جهت بررسی های مولکولی:** به منظور بررسی مولکولی بیان ژن کاتالاز کبد رت های مورد آزمایش نمونه گیری شد. در پایان روز ۳۰ ام، پس از بی هوشی شکم رت ها در شرایط استریل و در زیر هود باز شد و بافت کبدی را از قسمت فاقد بافت پیوندی قسمت کناری لوب چپ جدا کرده و در میکروتیوب حاوی ۰/۵ µl RNALater در دمای -۷۰ درجه سانتی گراد نگهداری شد.

**روش بررسی بیان ژن با Real time PCR:** روش کار بر اساس پروتکل کیت انجام شد. کیفیت و کمیت cDNA سنتز شده به ترتیب با استفاده از الکتروفورز و بررسی جذب نوری nm ۲۶۰ به ۲۸۰ با استفاده از نانوراپ مورد ارزیابی قرار گرفت.

**واکنش های Real time PCR:** این واکنشها در حجم کلی ۱µl شامل ۱µl cDNA ۱۰ شامل ۱µl تهیه شده در مراحل قبلی (از انجا که ۱/۴ از استوک در متحنی استاندارد غلاظت بهینه و مناسب بود، از غلاظت ۰/۵ µg استفاده شد)، ۱µl از هر یک از پرایمرهای فوروارد (F) و ریبورس (R) با غلاظت نهایی ۱۰ پیکو مولار (10 Pm) با توالی مندرج در جدول ۱، ۱۰ ۱µl مستر (2X Real time PCR Master Mix) و ۱µl آب مقطر استریل انجام شد. برنامه دمایی واکنش ژن CAT و Rplp1 به ترتیب ۱۵s دمای ۹۵ درجه

به روش هم رسوبی تهیه شد. مقدار ۲/۴۶ g از MgSO<sub>4</sub> و میزان ۰/۴ g NaOH را به حجم ۱۰۰ ml رسانده، مگنت داخل آن گذاشته و روی مگنت گردان قرار دادیم. زمانی که هر دو محلول در آب مقطر حل شدند، هیتر های دستگاه را روشن کرده تا محلول های در حال چرخش به جوش آمدند. سپس در دمای جوش، محلول حاوی NaOH را به محلول حاوی MgSO<sub>4</sub> اضافه کرده و اجازه داده تا ۲ دقیقه بر روی دستگاه مگنت گردان مخلوط شوند. سپس از روی دستگاه برداشته و اجازه داده تا رسوب ته نشین شود. فاز رسوبی را دور ریخته شد و آب مقطر بر روی رسوب ریخته و حدود ۱ دقیقه مجددا روی مگنت گردان قرار داده و مرحله قبل را تکرار کردیم. مرحله شستشو را ۵ مرتبه انجام داده و رسوب باقیمانده در بشر را در فور با دمای ۴۰ درجه سانتی گراد به مدت ۲۴ تا ۴۸ ساعت قرار داده تا خشک شود. رسوب به دست آمده Mg(OH)<sub>2</sub> است. رسوب خشک شده را پودر کرده و در بوته چینی داخل کوره با دمای ۵۰۰ درجه سانتی گراد به مدت ۹ ساعت قرار داده تا با از دست دادن یک مولکول H<sub>2</sub>O تبدیل به MgO شود.

جهت مشخصه یابی مواد تولید شده، آزمایشات پراش پرتوX (XRD) در دانشگاه صنعتی اصفهان و تصویربرداری میکروسکوپ الکترونی عموری (TEM) در دانشگاه فردوسی مشهد انجام شد. جهت تزریق میزان ۱۰۰ mg پودر نانوذرات Mg را توسط آب مقطر تزریقی به حجم ۲۰ ml رسانده تا غلاظت ۲۰ mg/kg شود، سپس ۱۰ ml از این محلول را به حجم ۲۰ ml رسانده تا غلاظت ۱۰ mg/kg جهت تزریق به گروه ۶ استفاده شود. مجددا ۵ mg/kg از محلول فوق را به حجم ۲۰ ml رسانده تا غلاظت ۵ mg/kg جهت تزریق به گروه ۷ به دست آید. سپس به هر رت ۱ ml از هر کدام از محلول های مربوطه به صورت داخل صفاقی تزریق شد. روش تهیه و آماده سازی عصاره بارگذاری شده: میزان ۵۰۰ mg از پودر نانوذره MgO را در ۱۰۰ cc آب مقطر دو بار تقطیر حل کرده و درون یک بالن سه دهانه ریخته و مقدار ۵۰۰ mg عصاره هیدرواتانولی مغناطیسی سیاهدانه را نیز در ۱۰۰ cc مغناطیسی شده حل کرده و درون ستون دستگاه سوکسیله ریخته

جدول ۱. جدول توالی و مشخصات پرایمرهای مورد استفاده در این پژوهش

طول محصول PCR ( bp )	دماز ذوب ( درجه سانتی گراد )	تمالی پرایمر	نام ژن
۱۲۱	۵۸/۲۱	F: GACGGTCACGGAGGATAAGA	Rplp1
	۵۸/۲۴	R: GCAGATGAGGCTTCCAATGT	
۱۷۵	۵۹/۹۷	F: CGACCGAGGGATTCCAGATG	CAT
	۶۱/۴۹	R: ATCCGGTCTCCTGTGCAA	

برای رسم متحنی ذوب نیز از شب دمایی ۱/۸ تا ۱/۹ درجه سانتی گراد با افزایش ۱ درجه سانتی گراد به ازای هر ثانیه استفاده شد.

شد (نمودار ۳). با استفاده از روش Real time PCR میانگین بیان ژن در گروه کنترل غیردیابتی و گروه کنترل غیردیابتی تیمار شده با آب مغناطیسی به ترتیب  $1\pm 0/42$  و  $15\pm 0/31$  و از طرفی میانگین بیان ژن در گروه کنترل دیابتی و گروه کنترل دیابتی تیمار شده با متفورمین به ترتیب  $15\pm 0/04$  و  $21\pm 0/06$  نشان داده شده است و میانگین بیان ژن در گروه دیابتی تیمار شده با عصاره هیدرواتانولی مغناطیسی سیاهدانه با دوز mg/kg ۲۵۰، گروه دیابتی تیمار شده با نانوذره MgO با دوز mg/kg ۱۰، گروه دیابتی تیمار شده با عصاره ترکیبی هیدرواتانولی مغناطیسی سیاهدانه با دوز mg/kg ۱۲۵ توأم با نانوذره MgO با دوز mg/kg ۵ و گروه دیابتی تیمار شده با عصاره بارگذاری شده با نانوذره MgO، به ترتیب  $0/13\pm 0/03$  و  $0/16\pm 0/02$  و  $0/2\pm 0/04$  بود (نمودار ۴). بر اساس این نتایج می‌توان گفت که میزان بیان ژن CAT در گروه‌های دیابتی تحت تیمار و گروه شاهد دیابتی نسبت به گروه شاهد غیردیابتی کاهش معنی‌داری داشته‌اند ( $P<0/05$ ). میزان بیان ژن در گروه دیابتی تیمار شده با عصاره هیدرواتانولی مغناطیسی سیاهدانه با دوز mg/kg ۲۵۰ نسبت به گروه شاهد دیابتی افزایش یافته است ولی در سایر گروه‌های دیابتی تیمار شده افزایش یافته است که این میزان افزایش در گروه دیابتی تیمار شده با عصاره بارگذاری شده با نانوذره MgO بیشتر بوده است، هرچند این تغییرات در گروه‌های تحت تیمار نسبت به گروه شاهد دیابتی معنی‌دار نبوده است، ولی عصاره بارگذاری شده با نانوذره MgO توانسته در حد داروی شیمیایی متفورمین عمل کرده و بیان ژن را به اندازه بیان ژن در گروه شاهد دیابتی تحت تیمار با متفورمین افزایش دهد که می‌توان گفت عصاره همانند این دارو بر بیان ژن در افراد دیابتی

سانسی‌گراد و ۲۵۸ دمای ۶۰ درجه سانتی‌گراد بود. توالی پرایم‌ها از مقالات (۱۲، ۱۱) گرفته شد و با استفاده از NCBI blast و نرم افزار Oligo analyser(1.0.2) مورد ارزیابی قرار گرفته و سپس از شرکت زیست فناوران رنا خریداری شد (جدول ۱).

**ملاحظات اخلاقی:** این مقاله با کد IR.IAU.SHK.REC.1397.052 به تصویب کمیته اخلاق رسید.

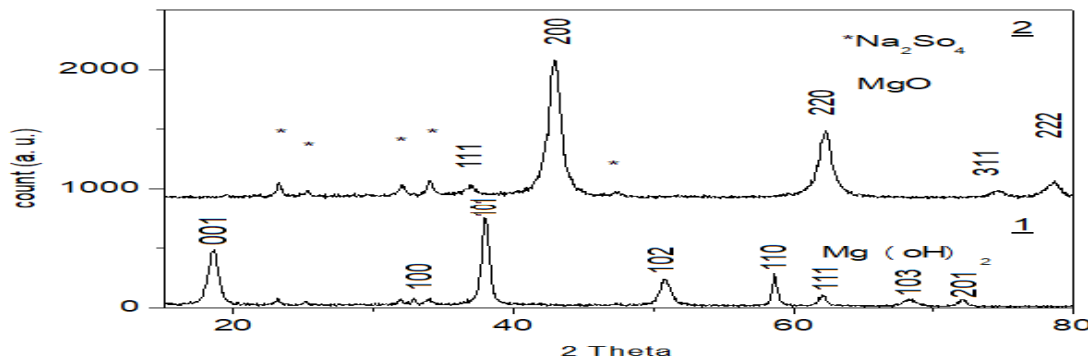
**بررسی‌های آماری:** نتایج Real Time PCR با استفاده از نرم افزار ABI دستگاه به صورت سیکل‌های آستانه (Ct) و منحنی‌های ذوب و منحنی استاندارد به دست آمد و از آنجا که کارایی PCR برای هر پرایم‌ژن‌ها تقریباً نزدیک به صورت دستی مورد آنالیز (۱۳)  $\Delta\Delta Ct$ -۲، میانگین بیان نسبی ژن به صورت دستی مورد آنالیز قرار گرفت و با استفاده از آزمون آماری ANOVA بررسی شد.

#### یافته‌ها

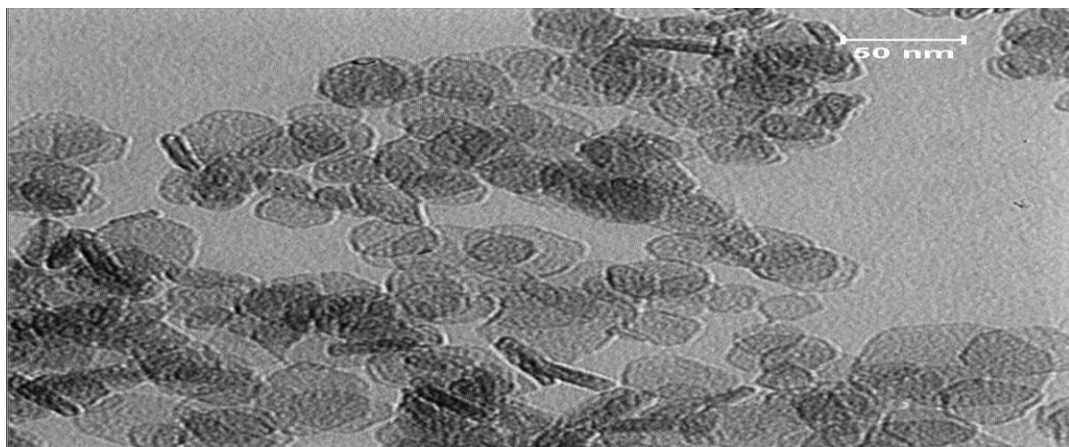
نتایج تعیین فاز ساختار بلورین نانوذرات MgO به وسیله XRD و TEM: نمودار XRD شامل یک سری قله است که با توجه به شدت و موقعیت این قله‌ها می‌توان نمونه MgO را با استفاده از کارت مرجع شماره ۰۰۰-۰۹۴۶ (۱۴) آنالیز کرد (نمودار ۱). نتایج حاصل از TEM شکل ظاهری و قطر نانوذرات MgO تولید شده را توسط میکروسکوپ الکترونی نشان داد (شکل ۱).

نتایج بررسی درستی عمل پوشش دهی نانوذرات MgO با طیف سنجی FTIR: منحنی‌های FTIR نشان می‌دهد که برای نانوذرات MgO بارگذاری شده بر عصاره هیدرواتانولی مغناطیسی سیاهدانه، این طیف تغییرات قابل توجهی را بر اساس شکل و فراوانی پیوند‌ها دارد که نمایانگر برهمنکنش گروه‌های عملی در نانوذره MgO و عصاره هیدرواتانولی مغناطیسی سیاهدانه در سطح است (نمودار ۲).

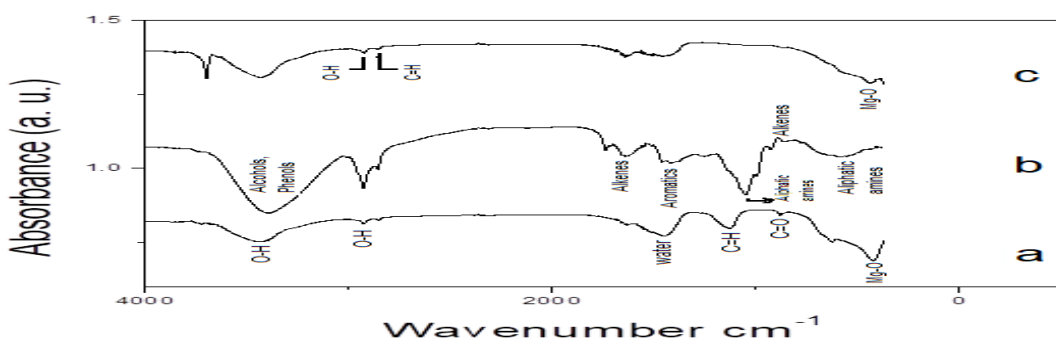
نتایج بررسی آنالیز بیان نسبی ژن CAT: پس از انجام Real time PCR، منحنی تکثیر cDNA ژن‌های Rplp1 و CAT در هر نمونه رسم شد و Ct هر کدام تعیین



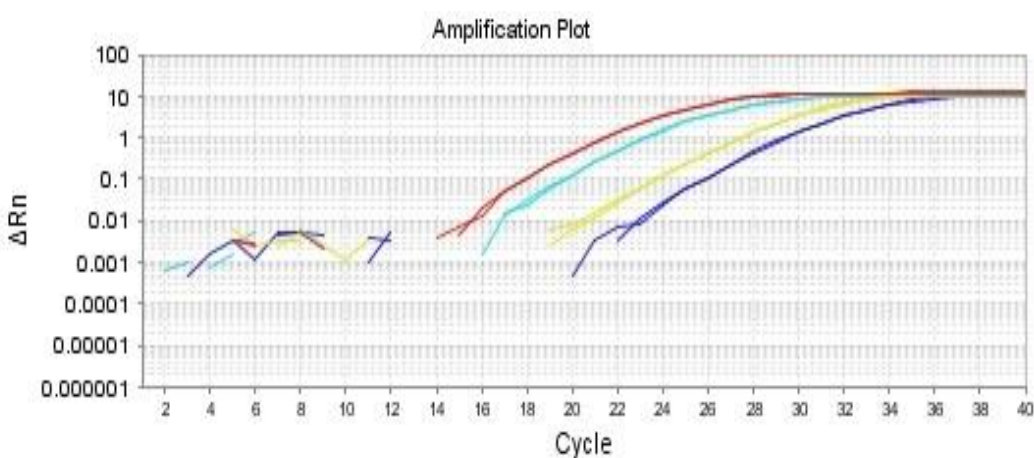
نمودار ۱. نمودار پراش پرتوX (XRD) به نانوذرات MgO جهت تعیین سایز



شکل ۱. تصویر میکروسکوپ الکترونی (TEM) نانوذرات MgO



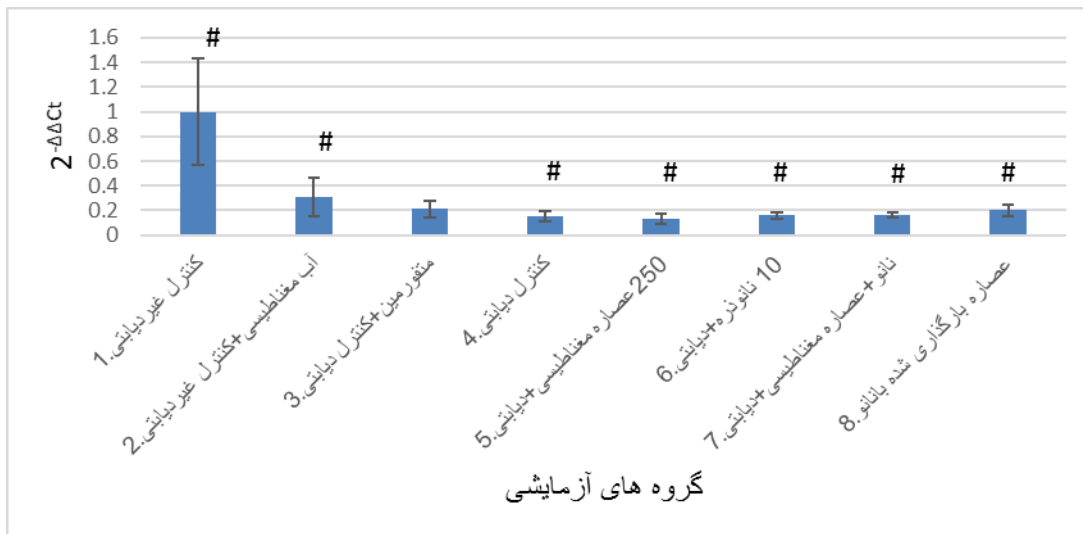
نمودار ۲. طیف سنجی مادون قرمز (FTIR) : (a) نانوذره MgO، (b) عصاره هیدرواتانولی مغناطیسی سیاهدانه، (c) نانوذره MgO بارگذاری شده با عصاره هیدرواتانولی مغناطیسی سیاهدانه



نمودار ۳. منحنی تکثیر ژن CAT و RplpI برای نمونه های مورد بررسی

مغناطیسی باعث کاهش بیان ژن *CAT* شده است، از طرفی در گروه دیابتی تحت تیمار با نانوذره MgO با دوز ۱۰ mg/kg، بیان ژن نسبت به گروه دیابتی تحت تیمار با عصاره هیدرواتانولی مغناطیسی سیاهدانه با دوز ۲۵۰ mg/kg بیشتر بوده و در گروه ۷ که با عصاره ترکیبی هیدرواتانولی مغناطیسی سیاهدانه با دوز ۱۲۵ mg/kg توام با نانوذره

تاثیر مثبت داشته است. از آنجا که بیان ژن در گروه شاهد غیردیابتی تحت تیمار با آب مغناطیسی کاهش معنی داری ( $P < 0.05$ ) نسبت به گروه شاهد غیردیابتی داشته است و همچنین بیان ژن در گروه دیابتی تحت تیمار با عصاره هیدرواتانولی مغناطیسی سیاهدانه با دوز ۲۵۰ mg/kg نسبت به گروه شاهد دیابتی کاهش یافته است، احتمالاً آب



نمودار ۴. بیان ژن *CAT* نسبت به گروه های کنترل. # تغییرات معنی دار گروه ها نسبت به گروه کنترل غیردیابتی

ژن ( $0.04 \pm 0.02$ ) توانسته میزان بیان ژن را به اندازه میزان بیان ژن در گروه شاهد دیابتی تحت تیمار با متغورمین با میانگین بیان ژن ( $0.06 \pm 0.01$ ) برساند. در حالی که بیان ژن در سایر گروه های دیابتی تحت درمان نوسان چندانی نسبت به گروه شاهد دیابتی نداشت و حتی نسبت به گروه شاهد دیابتی تحت تیمار با متغورمین کاهش یافته است. نتایج محققان بیانگر این است که فعالیت آنزیم های آنتی اکسیدانی نظیر *CAT* با بیان ژن مربوطه شان در ارتباط است (۱۵). افزایش قند خون منجر به عدم تعادل در واکنش های اکسیداسیون- احیا در سلول های کبد می شود. لذا هیپرگلیسمی از طریق افزایش AGEs تولید رادیکال های آزاد از طریق اختلال در آنزیم هایی مثل SOD و *CAT* را آسان  $H_2O_2$  می کند (۱۶). محققان نشان دادند که افزایش غلظت  $H_2O_2$  به دلیل فعالیت کم *CAT* ممکن است باعث آسیب سلول های بتا پانکراس شود. آسیب اکسیداتیو در طول عمر می تواند روی انسولین سلول های بتا لوزالمعده تاثیر داشته و در بروز دیابت به ویژه دیابت نوع ۲ نقش داشته باشد (۱۷). افزایش غلظت  $H_2O_2$  در طول عمر، به دلیل جهش ژن *CAT*، می تواند یک فاکتور خطر برای دیابت نوع ۲ باشد. این خطر ممکن است به دلیل آسیب  $H_2O_2$  در سلول های بتا لوزالمعده در اثر کاهش *CAT* باشد. با این وجود در افراد دیابتی نوع ۲ بدون جهش در ژن نیز *CAT* خون کاهش می یابد که می تواند به این دلیل باشد که زمانی که  $H_2O_2$  در سلول های عضلانی افزایش می یابد، سیگنال انسولین ترجیح می دهد از طریق غیر فعال کردن فسفاتاز های تیروزین حساس به اکسیداسیون که نمی توانند گیرنده های انسولین را دفسفریله کنند، عمل کند (۱۸). احتمالاً عصاره بارگذاری شده با نانوذره  $MgO$ ، خاصیت آنتی

$MgO$  با دوز  $5 \text{ mg/kg}$  تیمار شده است بیان ژن مشابه با بیان ژن در گروه ۶ بوده است پس ممکن است نانوذره  $MgO$  توانسته باشد تا حدی تاثیر منفی آب مغناطیسی را خنثی کند.

## بحث

**تفسیر نتایج XRD و TEM:** اندازه نانوذرات  $MgO$  به کمک رابطه دبای- شر در روش XRD به طور متوسط  $10 \text{ nm}$  به دست آمد. تصاویر میکروسکوپ الکترونی از نانوذرات  $MgO$  اندازه ذرات را حدود  $25 \text{ nm}$  نشان داد. در صورت وجود اختلاف در تخمین اندازه ذرات، نتایج میکروسکوپ الکترونی عبوری مبتنا قرار داده می شود چون رابطه دبای- شر رابطه تقریبی است که در برخی موارد خطای قابل توجهی نسبت به میکروسکوپ الکترونی عبوری دارد. در تصویر میکروسکوپی از لحاظ شکل ظاهری این ذرات دارای شکل ۶ وجهی و توزیع تقریباً یکنواخت بودند. توزیع یکنواخت اندازه ذرات از مسائل مهم در کاربرد های بیولوژی می باشد و یکی از مهمترین پارامتر های تعیین کننده توزیع بیولوژی نانوذرات، اندازه و شکل فضایی آنها است.

**نتایج بررسی بیان ژن *CAT*:** نتایج به دست آمده از مطالعه حاضر بیانگر این است که بیان ژن *CAT* در گروه های دیابتی تحت تیمار نسبت به گروه شاهد غیردیابتی کاهش معنی داری داشته است ( $P<0.05$ ). در حالی که میزان بیان ژن در گروه های دیابتی تحت تیمار نسبت به گروه شاهد دیابتی تفاوت معنی داری را نشان نداده است. گروه دیابتی تحت تیمار با عصاره بارگذاری شده با نانوذره  $MgO$  با میانگین بیان

نشان داد که تجویز خوراکی تیموکینون به میزان ۸۰ mg/kg به موش های دیابتی برای مدت ۴۵ روز به طور معنی داری باعث افزایش فعالیت آنزیم های آنتی اکسیدانی می گردد. این نتایج نشان داد که تیموکینون دارای اثر محافظتی بر سلول های بتا پانکراس بوده و می تواند بر استرس اکسیداتیو ناشی از دیابت غلبه کند (۲۰). کوثرسیتین به عنوان یکی از فلاونوئیدهای موجود در سیاهدانه با خاصیت آنتی اکسیدانی، در دوزهای بالای ۵۰ میکرومول باعث کاهش ظرفیت کل آنتی اکسیدان، کاهش فعالیت SOD و CAT می شود و این فلاونوئید رادیکال های سوپر اکسید تولید می کند (۲۱).

### تقدیر و تشکر

با سپاس از پروردگار مهریان که مرا در مسیر آموختن بیشتر یار و همراه بود و با سپاس فراوان از استادی ارجمند و گرامی که مرا در این مسیر راهنمایی و هدایت کردند و پیش از آموختن علم، انسانیت را به من آموختند.

اکسیدانی سیاهدانه را تقویت کرده و با تاثیر مثبت خود توانسته بیان ژن CAT را در افراد دیابتی افزایش دهد. به طوری که بین این عصاره و داروی متفورمین از لحاظ تاثیر بر روی بیان ژن CAT تفاوت معنی داری وجود ندارد. محققان با بررسی تاثیر سیاهدانه بر روی عملکرد آنزیم های آنتی اکسیدانی نشان دادند که تجویز ترکیبات حاوی سیاهدانه به طور قابل توجهی فعالیت آنزیم های آنتی اکسیدانی از جمله CAT را افزایش داده ولی حیوانات تحت درمان با سیاهدانه به تنها یابند، هیچ تغییر معنی داری در سطح CAT نشان ندادند، سیاهدانه باعث کاهش پراکسیداسیون لیپید و آنزیم های کبدی و افزایش فعالیت سیستم دفاعی آنتی اکسیدانی در موش های تحت درمان با CCl4 (تتراکلرید کربن) شد (۱۹). نتایج مطالعه ای که بر روی رت های دیابتی شده انجام پذیرفت نشان داد که فعالیت آنزیم های آنتی اکسیدان مانند CAT و گلوتاتیون پراکسیداز در طی دیابت کاهش یافته که مهم ترین علت آن تجمع رادیکال های آزاد است. این کاهش فعالیت مربوط به کبد و کلیه است. بخش دیگری از نتایج این مطالعه

### REFERENCES

1. Tripathi BK, Srivastava AK. Diabetes mellitus: complications and therapeutics. *Med Sci Monit* 2006;12: 130-47.
2. Doustar E, Mohajeri D. Antioxidant effects of grape seed extract in streptozotocin-induced diabetic rats. *Zahedan J Med Sci Res* 2009;12:9-14.
3. Mollazadeh H, Hosseinzadeh H. The protective effect of Nigella sativa against liver injury. *Iran J Bas Med Sci* 2014: 958-966.
4. Ahmadizadeh M, Vaziri H, Siri R, Shaygan H. Evaluation of salivary catalase activity in women without pregnancy. *J Sch Med, Tehran Uni Med Sci* 2016;74:129-134.
5. Kodydková J, Vávrová L, Kocík M, Zak A. Human catalase, its polymorphisms regulation and changes of its activity in different diseases. *Folia Biologica* 2014; 60:153.
6. Samy TS, Schwacha MG, Cioffi WG, Bland KI, Chaudry IH. Androgen and estrogen receptors in splenic T lymphocytes: effects of flutamide and trauma-hemorrhage. *Shock* 2000;14:465-70.
7. Baltgalvis KA, Greising SM, Warren GL, Lowe DA. Estrogen regulates estrogen receptors and antioxidant gene expression in mouse skeletal muscle. *PloS One* 2010;5: 10164.
8. Mazaheri N, Karimi A, Salavati H, Rezaei Zarchi S, Khalilian S, Rezaei Ranjbar Sardari R. The effect of intraperitoneal injection of magnesium oxide nanoparticles on liver and kidney function in rats *in vivo*. *Scientific Research Journal of Shahid Sadoughi University of Medical Sciences (JSSU)* 2014;22:1431-1439.
9. Zarghami N, Alani B, Onsori H, Tamizi A, Mesgari M. Study of changes in leptin gene expression in streptozotocin-induced diabetic rats. *Iran J Diabet Lipid* 2005;5:127-133.
10. Naghsh N, Kazemi S. Effect of Nano-magnesium Oxide on Glucose Concentration and Lipid Profile in Diabetic Laboratory Mice. *Iran J Pharm Sci* 2014;10: 63- 68.
11. Hafez Mohamed M, Al-Shabanah Othman A, Al-Harbi Naif O, Al-Harbi Mohamed M, Al-Rejaie Salim S, Alsurayea Saad M, et al. Association between Paraoxonases Gene Expression and Oxidative Stress in Hepatotoxicity Induced by CCl4. *Oxid Med Cell* 2014; 2014: 12.
12. Chang WC, Huang DW, Chen JA, Chang YF, Swi-Bea Wu J, Shen SC. Protective effect of Ruellia tuberosa L. extracts against abnormal expression of hepatic detoxification enzymes in diabetic rats. *RSC Adv* 2018;8:21596-21605.
13. Cusi K, DeFronzo R. Recombinant human insulin-like growth factor I treatment for 1 week improves metabolic control in type 2 diabetes by ameliorating hepatic and muscle insulin resistance. *J Clin Endocrinol Metab* 2000;85:3077-84.

14. Akram MW, Fakhar-E-Alam M, Atif M, Butt AR, Asghar A, Jamil Y, et al. In vitro evaluation of the toxic effects of MgO nanostructure in Hela cell line. *Sci Rep* 2018;8:4576..
15. Matsunami T, Sato Y, Sato T, Ariga S, Shimomura T, Yukawa M. Oxidative stress and gene expression of antioxidant enzymes in the streptozotocin-induced diabetic rats under hyperbaric oxygen exposure. *Int J Clin Exp Pathol* 2009;3:177-88.
16. Abolfathi A, Rezaei A, Mousavi Gh. The effect of green tea extract on tissue pathology and serum indices of liver tissue damage in streptozotocin-induced diabetic rats. *J Vet Med* 2011;5 :1315-1324.
17. Góth L, Nagy T, Paragh G, Káplár M. Blood Catalase Activities, Catalase Gene Polymorphisms and Acatalasemia Mutations in Hungarian Patients with Diabetes Mellitus. *Glob J Obes Diabetes Metab Syndr* 2016;3: 001-005.
18. Góth L. Catalase deficiency and type 2 diabetes. *Diabetes Care* 2008;31:e93.
19. Danladi J, Abdulsalam A, Timbuak JA, Ahmed SA, Mairiga AA, Dahiru AU, et al. Hepatoprotective Effect of Black Seed (*Nigella sativa*) oil on Carbon Tetrachloride (CCl<sub>4</sub>) Induced Liver Toxicity in Adult Wistar Rats. *J Dental Med Sci* 2013;4: 56-62.
20. Sankaranarayanan C, Pari L. Thymoquinone ameliorates chemical induced oxidative stress and β-cell damage in experimental hyperglycemic rats. *Chem Biol Interact* 2011;190:148-54.
21. Robaszkiewicz A, Balcerzyk A, Bartosz G. Antioxidative and prooxidative effects of quercetin on A549 cells. *Cell Biol Int* 2007;31:1245-50.